

Ф. Джерри Лусиа

ПОСТРОЕНИЕ ГЕОЛОГО-
ГИДРОДИНАМИЧЕСКОЙ
МОДЕЛИ КАРБОНАТНОГО
КОЛЛЕКТОРА

Интегрированный подход



БИБЛИОТЕКА

НЕФТЯНОГО ИНЖИНИРИНГА

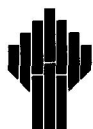
Ф. Джерри Лусиа

**ПОСТРОЕНИЕ ГЕОЛОГО-
ГИДРОДИНАМИЧЕСКОЙ
МОДЕЛИ КАРБОНАТНОГО
КОЛЛЕКТОРА**

Интегрированный подход

Перевод с английского
Е. М. Синевой

Под редакцией
О. А. Ботвиновской, Ю. В. Меркушкиной, С. В. Охотиной,
А. А. Тверитнева и В. М. Яценко



**БИБЛИОТЕКА
НЕФТЯНОГО ИНЖИНИРИНГА**

УДК 622.27
ББК 33.36
Л862

Интернет-магазин



<http://shop.rcd.ru>

- физика
 - математика
 - биология
 - нефтегазовые технологии
-

Лусия Ф. Дж.

Построение геолого-гидродинамической модели карбонатного коллектора: интегрированный подход. — М.-Ижевск: НИЦ «Регулярная и хаотическая динамика», Ижевский институт компьютерных исследований, 2010. — 384 с.

Одним из важнейших условий добычи нефти и газа из карбонатных коллекторов является описание трехмерного распределения петрофизических свойств с целью повышения качества прогноза фильтрации флюида с помощью компьютерного моделирования. В настоящей книге особое внимание уделяется природе горных пород как фактору интегрирования геологических, петрофизических и геостатистических методов построения модели продуктивного пласта, применимой для загрузки в программный комплекс для симуляции притока флюида. Второе издание книги содержит новую главу, посвященную методам построения модели и демонстрирующую новые примеры моделирования коллекторов различного типа — известняковых, доломитовых и коллекторов со взаимосвязанно-каверновым поровым пространством. Также переработаны и дополнены главы, в которых рассматриваются основные петрофизические свойства, структурно-текстурные/петрофизические взаимосвязи, связи «керн–ГИС» и секвентная стратиграфия.

ISBN 978-5-93972-880-5

ББК 33.36

© Springer-Verlag, 1999, 2007

© Перевод на русский язык:

Ижевский институт компьютерных исследований, 2010

© Оформление серии, ОАО «НК «Роснефть», 2010



<http://shop.rcd.ru>
<http://ics.org.ru>

Оглавление

От редакционного совета	13
Предисловие к русскому изданию	15
Предисловие	17
ГЛАВА 1. Питрофизические свойства пород	20
1.1. Введение	20
1.2. Пористость	20
1.3. Проницаемость	25
1.4. Размер пор и флюидонасыщенность	29
1.5. Относительная проницаемость	39
1.6. Резюме	43
Литература	44
ГЛАВА 2. Классификация структурно-текстурных особенностей горных пород	46
2.1. Введение	46
2.2. Терминология и классификация порового пространства	47
2.3. Структурно-текстурная/петрофизическая классификация	51
2.3.1. Классификация межчастичного порового пространства	51
2.3.2. Классификация кавернового порового пространства	54
Поровое пространство изолированных каверн	55
Взаимосвязанно-каверновое поровое пространство	56
2.4. Соотношения между структурно-текстурными особенностями пород и их петрофизическими характеристиками	56
2.4.1. Соотношения между межчастичной пористостью и проницаемостью	56
Структурно-текстурные особенности известняков	56
Структурно-текстурные особенности доломитов	62
Сравнение известняков и доломитов	66
Оценка проницаемости	67
2.4.2. Соотношения между структурно-текстурными особенностями пород, пористостью и водонасыщенностью	71
2.4.3. Структурно-текстурные/петрофизические классы	73
2.4.4. Петрофизические свойства изолированно-кавернового порового пространства	76

2.4.5. Пetroфизические свойства взаимосвязанно-кавернового по- рового пространства	80
2.5. Резюме	82
Литература	87
ГЛАВА 3. Геофизические исследования скважин	91
3.1. Введение	91
3.2. Исследование керна	91
3.3. Анализ керна	92
3.4. Построение и анализ зависимостей «керн–ГИС»	94
3.4.1. Методика построения зависимостей «керн–ГИС»	94
3.4.2. Гамма-каротаж	95
3.4.3. Скважинные условия	97
3.4.4. Вычисление пористости по данным нейтронного и плот- ностного каротажа	99
3.4.5. Литология	106
3.4.6. Акустический каротаж	107
3.4.7. Методы определения сопротивления	115
3.4.8. Сканирование пласта	124
3.5. Определение проницаемости по данным ГИС	126
3.6. Начальная водонасыщенность	128
3.7. Резюме	129
Литература	133
ГЛАВА 4. Структуры осадконакопления и петрофизика	136
4.1. Введение	136
4.2. Свойства карбонатных осадков	137
4.3. Секвенс-стратиграфический каркас	145
4.3.1. Высокочастотные циклы	147
4.3.2. Высокочастотные секвенции	157
4.4. Пример	160
4.5. Резюме	165
Литература	167
ГЛАВА 5. Построение моделей пласта и их импорт в программные гидродинамические симуляторы	170
5.1. Введение	170
5.2. Геостатистические методы	173
5.2.1. Вариография	173
5.2.2. Условное моделирование	175
5.3. Масштабы изменчивости и осредненные свойства	177
5.4. Моделирование коллекторских свойств разреза Лойер-Каньон ме- тодом аналогии	188
5.4.1. Введение	188

5.4.2. Создание модели	188
5.4.3. Структурно-текстурные слои фильтрации	192
5.4.4. Экспериментальное моделирование процессов фильтрации	193
5.5. Методика построения геолого-гидродинамической модели	198
5.6. Резюме	208
Литература	210
ГЛАВА 6. Известняковые коллекторы	213
6.1. Введение	213
6.2. Цементация, уплотнение и избирательное выщелачивание	216
6.2.1. Цементация карбонатом кальция	216
6.2.2. Уплотнение	220
6.2.3. Избирательное выщелачивание	221
6.2.4. Влияние диагенеза на распределение петрофизических свойств	224
6.3. Примеры известняковых коллекторов	227
6.3.1. Месторождение Честер (Оклахома, США), Миссисипский ярус	227
6.3.2. Меловые отложения месторождения Тубарао, шельф Бразилии	228
6.3.3. Молдиковый грейнстоун пермского возраста, горы Гвадалупе (США)	234
6.3.4. Меловая залежь месторождения Иdd-эль-Шарги (Катар, Ближний Восток)	235
6.3.5. Верхнедевонские рифовые постройки, Альберта (Канада) .	244
Литература	248
ГЛАВА 7. Доломитовые коллекторы	252
7.1. Введение	252
7.2. Доломитизация	253
7.2.1. Гидрологические модели	253
7.2.2. Доломитизация и петрофизические свойства	256
7.2.3. Распределение доломитов	267
7.2.4. Кальцитизация доломитов	268
7.3. Эвапоритовая минерализация	269
7.3.1. Кальцитизация ангидрита и гипса	272
7.4. Примеры месторождений – доломитовые и известняковые коллекторы	273
7.4.1. Коллекторы Ред Ривер, штаты Монтана и Северная Дакота (США)	274
7.4.2. Девонская залежь месторождения Эндрюс Саут, Западный Техас (США)	277
7.4.3. Площадь Харал месторождения Гавар	278

Вертикальная последовательность седиментационных структур	279
Описание структурно-текстурных особенностей и петрофизические свойства	280
Привязка кривых ГИС	282
Расчет вертикальных профилей петрофизических свойств	284
Построение модели коллектора	284
7.5. Примеры месторождений с доломитовыми коллекторами	286
7.5.1. Коллектор Сан-Андрес, месторождение Семинол, округ Гейнс, Техас	287
Вертикальная последовательность седиментационных структур	287
Описание структурно-текстурных особенностей и петрофизические свойства	290
Привязка данных ГИС	294
Расчет вертикальных профилей петрофизических свойств	297
Построение модели коллектора	298
Моделирование процессов фильтрации	303
7.5.2. Залежь в свите Клир Форк месторождения Саут Уоссон	305
Вертикальная последовательность седиментационных структур	306
Описания структурно-текстурных особенностей и петрофизических свойств	307
Нормализация данных ГИС и керна	312
Расчеты вертикальных профилей петрофизических свойств	314
Построение модели коллектора	315
Гидродинамическая модель	316
7.5.3. Коллектор в свите Клир Форк на месторождении Фаллертон	320
Вертикальная последовательность седиментационных структур	320
Описание структурно-текстурных особенностей и петрофизические свойства	325
Нормализация различных структурно-текстурных особенностей пород, седиментационных структур и данных ГИС	329
Расчет вертикальных профилей петрофизических свойств	332
Построение обобщающей модели месторождения	334
Гидродинамическую модель фильтрации	336
Литература	338

ГЛАВА 8. Коллекторы с каверново-связанным типом пор	344
8.1. Введение	344
8.2. Мелкомасштабные явления выщелачивания, обрушения (смятия) и формирования микротрещин	346
8.2.1. Влияние на петрофизические свойства	347
8.2.2. Коллекторы с системой мелкомасштабных взаимосвязанных каверн	348
Коллектор в свите Грейбург, месторождение Саут Коуден	348
8.3. Крупномасштабное выщелачивание, обрушение и формирование трещиноватости	353
8.3.1. Влияние на распределение петрофизических свойств	358
8.3.2. Коллекторы, характеризующиеся крупномасштабным взаимосвязанно-каверновым поровым пространством	362
Месторождения, приуроченные к свите Сан-Андрес, Западный Техас	362
Коллектор Миссисипского возраста, месторождение Элк Бэйсин	366
Месторождения, приуроченные к свите Элленбургер нижнеордовикского возраста	368
Месторождения, приуроченные к рифам силурийского возраста	373
Литература	375
Предметный указатель	378